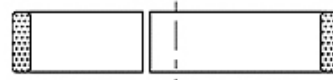
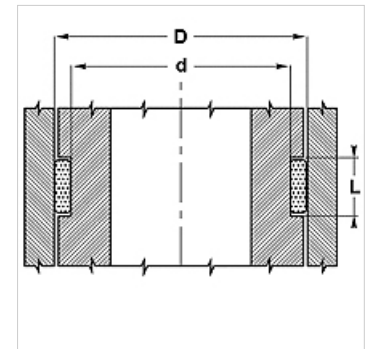


Eigenschappen

Constructie	Geleidering
Glij snelheid max.	0,8 m/s
Oppervlaktedruk	bij 20°C 15 N/mm ² ; bij 100°C 10 N/mm ²
Temperatuur min.	-30 °C
Temperatuur max.	110 °C
Middelen	Minerale olie . Water-emulsies
Montage	in de groef leggen
Materiaal	acetaalhars + glasvezel
Toepassing	Hydrauliek



Toleranz / Tolerance		
D	d	L
H8	0 -0,05	+0,10 0



Aanwijzing

Berekening van de dwarskracht; $F = p \times D \times L \times n$

F= maximale dwarskracht (N)

p= maximale vlaktepensing (N/mm²)

D x L= geprojecteerd vlak (mm²)

n= aantal ringen

Beschrijving

eenvoudige bewerking en montage van de montagegroef

groot draagvermogen

Geringe slijfactor wrijvingscoëfficiënt (tussen 0,05 en 0,1) in veel afmetingen verkrijgbaar.

Bestelaanwijzingen

Geleideringen met diameter 20 tot 510 mm kunnen wij op korte termijn produceren.

Artikel

Aanduiding	D (mm)	d (mm)	L (mm)
E-DWR 20-2-9.6	20	16	9,6
E-DWR 22-2-9.6	22	18	9,6
E-DWR 25-2-9.6	25	21	9,6
E-DWR 28-2-9.6	28	24	9,6
E-DWR 30-2-9.6	30	26	9,6
E-DWR 32-2-9.6	32	28	9,6
E-DWR 34-2-9.6	34	30	9,6
E-DWR 34-2-16	34	30	16,0
E-DWR 35-2-9.6	35	31	9,6
E-DWR 36-2-9.6	36	32	9,6
E-DWR 40-3-9.6	40	34	9,6
E-DWR 40-2-9.6	40	36	9,6
E-DWR 45-3-9.6	45	39	9,6
E-DWR 45-2-9.6	45	41	9,6
E-DWR 50-3-9.6	50	44	9,6
E-DWR 50-3-12.8	50	44	12,8
E-DWR 55-3-12.8	55	49	12,8
E-DWR 56-3-12.8	56	50	12,8
E-DWR 60-3-12.8	60	54	12,8
E-DWR 63-3-12.8	63	57	12,8
E-DWR 65-3-12.8	65	59	12,8
E-DWR 70-3-12.8	70	64	12,8
E-DWR 74-3-12.8	74	68	12,8
E-DWR 75-3-12.8	75	69	12,8
E-DWR 80-3-12.8	80	74	12,8
E-DWR 85-3-12.8	85	79	12,8
E-DWR 90-3-10	90	84	10,0
E-DWR 100-3-12.8	100	94	12,8
E-DWR 105-3-12.8	105	99	12,8
E-DWR 110-3-12.8	110	104	12,8



Artikel

Aanduiding	D (mm)	d (mm)	L (mm)
E-DWR 115-3-12.8	115	109	12,8
E-DWR 120-3-12.8	120	114	12,8
E-DWR 125-3-12.8	125	119	12,8
E-DWR 135-3-12.8	135	129	12,8
E-DWR 135-3-19.2	135	129	19,2
E-DWR 140-3-12.8	140	134	12,8
E-DWR 150-3-12.8	150	144	12,8
E-DWR 155-3-19.2	155	149	19,2
E-DWR 160-3-19.2	160	154	19,2
E-DWR 165-3-19.2	165	159	19,2
E-DWR 250-3-19.2	250	244	19,2